

СТРАТИГРАФИЧЕСКАЯ КОЛОНКА  
(Зилairo-Лемвинская и Харьейско-Марункуевская СФЗ)

Алгоритм	Эпоха	Эра	Система	Отдел	Ярус	Индекс	Колонка	Мощность, м	Характеристика подразделений
ФАНЕРОЗОИ	Палеозой	Девон	Каменистый	Средний	Нижний	D <sub>2</sub> -C <sub>1</sub>		300-380	Нижуринская свита. Сланцы алевроглинистые, глинисто-кремнистые, углеродисто-кремнистые, переходящие во флиаиты, с редкими прослоями известняков
И	СРЕДНИЙ	ВЕЩДСКАЯ	СРЕДНИЙ	ДАВРИДИЙСКИЙ	ТРЕМАДСКО-СКОИ	O <sub>1</sub> -O <sub>2</sub>		500-600	Оранская свита. Сланцы тонкопослатые, фидитовидные, хлорит-серпичит-кварцевые, хлорит-серпичит-альбит-кварцевые, углеродисто-кварцевые с конгломератами <i>Cladifolias</i> sp. indet., редкими пластами и линзами алевролитов, песчаников
						Vd <sub>1</sub>		300-600	Саданская свита. Нижнесаданская подсвита. Песчаники полимитовые серые, темно-серые с прослоями гравелитов в основании разреза, алевролиты, сланцы серпичит-хлорит-альбит-кварцевые, серпичит-кварцевые, в небольшом количестве ридзиты, ридзиты и их туфы
						RF <sub>1</sub> nl		800-1500	Немуроградская свита. Парасланцы зеленовато-серые серпичит-хлорит-альбит-кварцевые, часто карбонат- и углеродосодержащие, с прослоями и линзами серых, белых и кремовых доломитовых мраморов, кварцитов. Метаффузы базальтового, андезитового, реже дацитового и ридзитового состава, их туфы и туфопесчаники
						RF <sub>2</sub> nl		1200-1400	Минисейшорская свита. Метабазальты, сланцы углеродисто-глинистые, углеродисто-кремнистые, фидитовидные, эфидит-хлорит-амфиболовые, эфидит-альбит-хлоритовые, манжетитовые, прослои туфов и мраморов
						RF <sub>3</sub> nl		400-500	Верхнехарьейская свита. Конгломераты, гравелиты, кварцито-песчаники сланцево-кварцевые, полевшатовые, сланцы хлорит-спидерит-кварц-альбитовые, углеродосодержащие, горизонты кварцитов, мраморов и гондитов
						PR <sub>1</sub> pr		1500	Паривасьюрская свита. Сланцы кристаллические полевшатовые-сланцевые, углеродосодержащие, плагиогнейсы сланцевые, амфиболовые, в подчиненном количестве амфиболиты альбитовые, плагиогнейсы и сланцы дистен-старовитовые, дистен-сланцевые, дистен-старовит-гранатовые
						PR <sub>2</sub> pr		1300	Лаптаганская свита. Гнейсы амфиболовые, амфиболиты, паранейсы, горизонты кварцитов, мраморов и прослои гондитов
						PR <sub>3</sub> pr		1500-2000	Ханмейшорская свита. Амфиболиты очковые и равномернозернистые, в том числе гранатовые, гнейсы и плагиогнейсы амфиболовые и сланцевые

КАРТА АНОМАЛЬНОГО МАГНИТНОГО ПОЛЯ

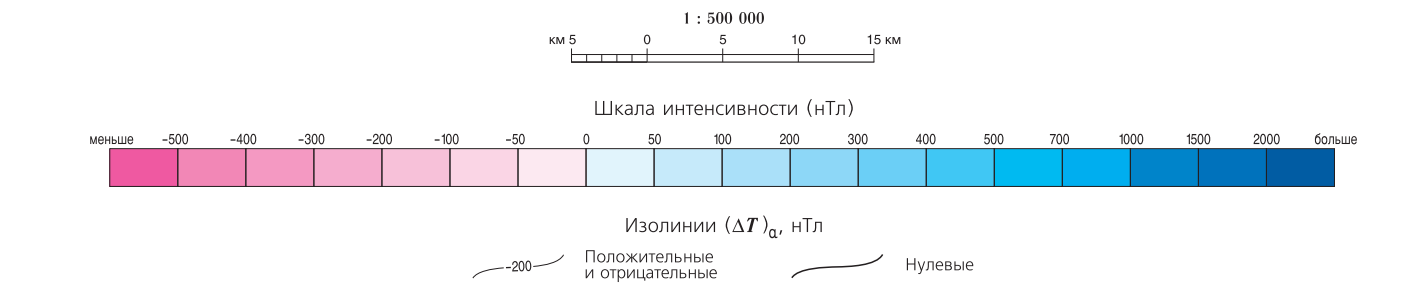
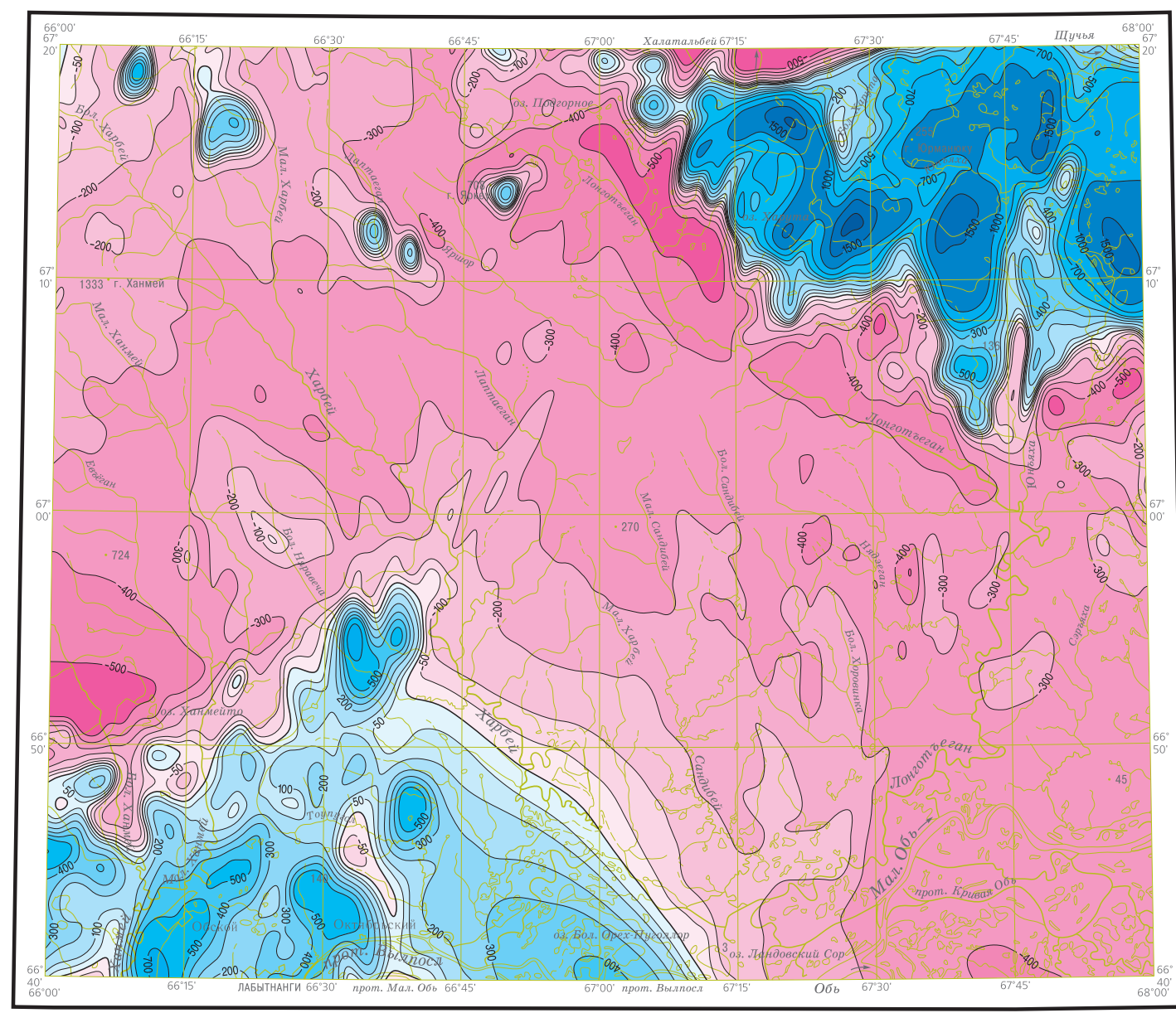


СХЕМА ГРАВИТАЦИОННЫХ АНОМАЛИЙ  
(оцифровка условная)

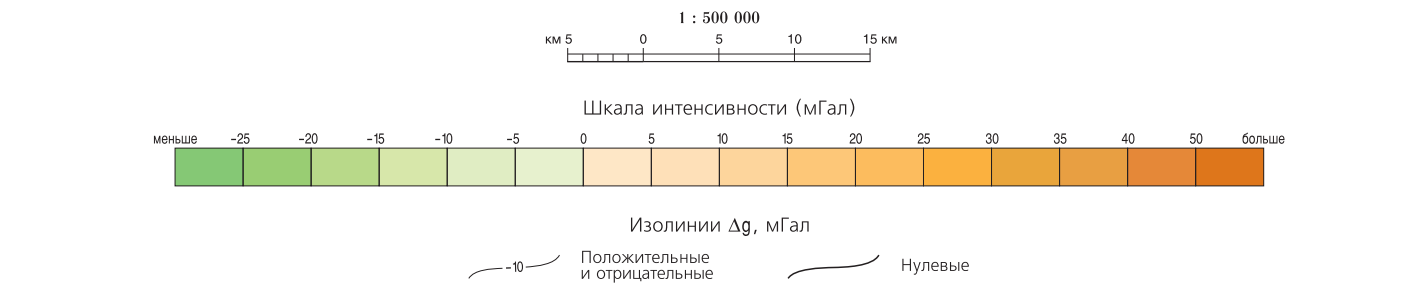
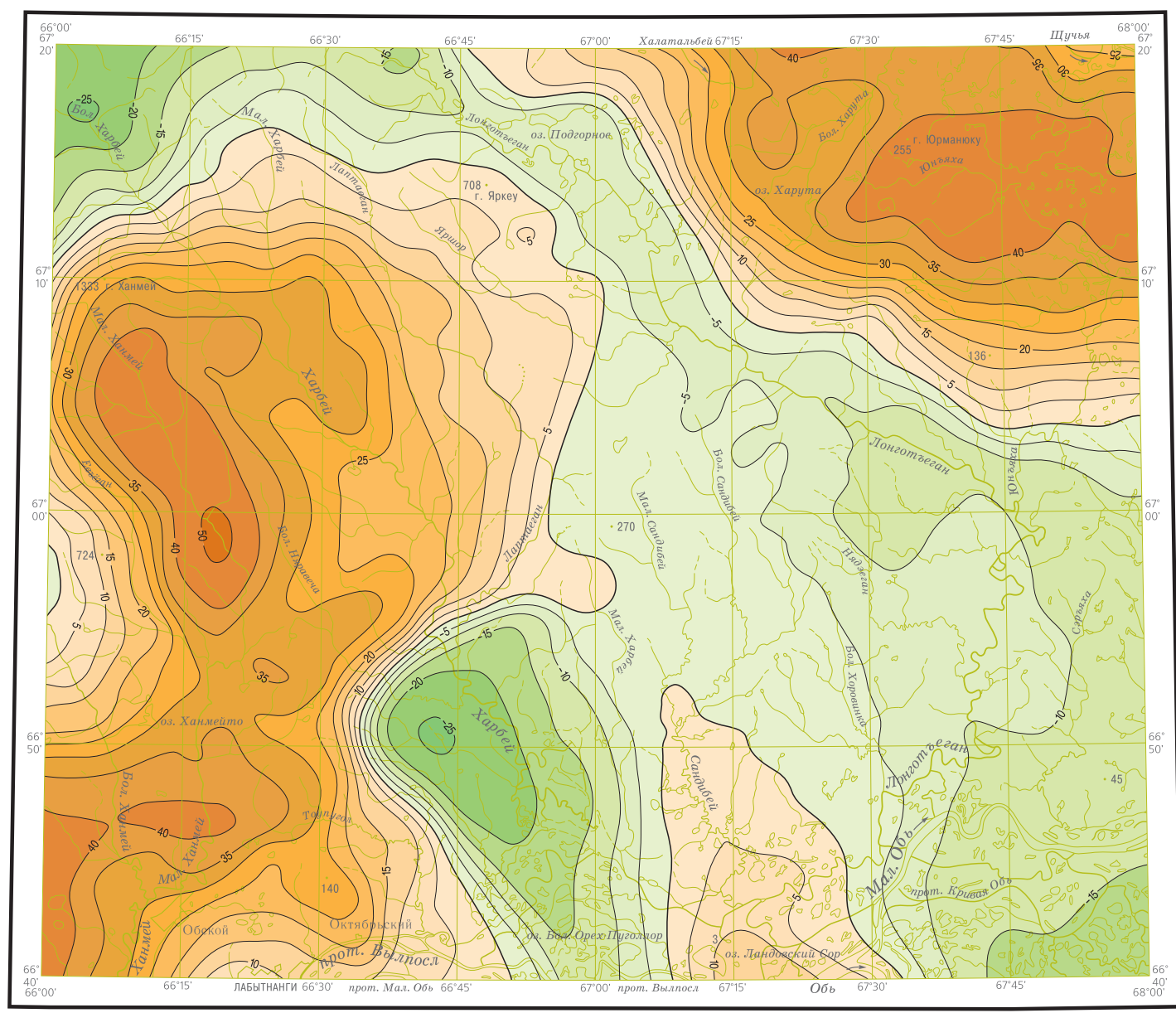
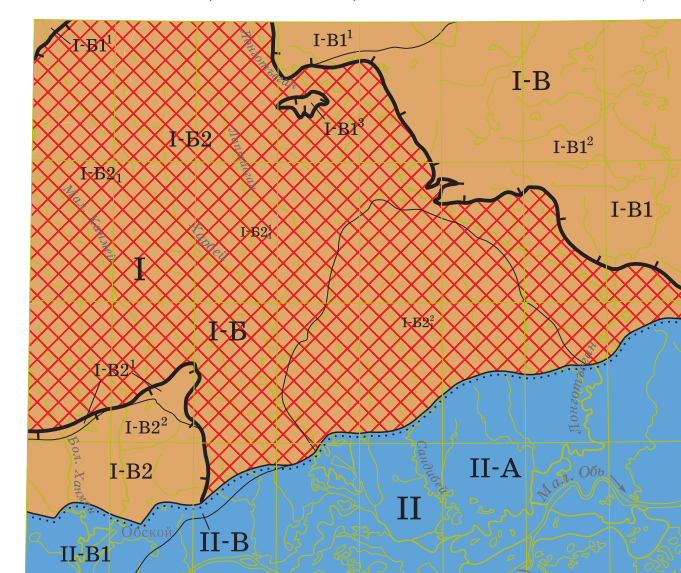
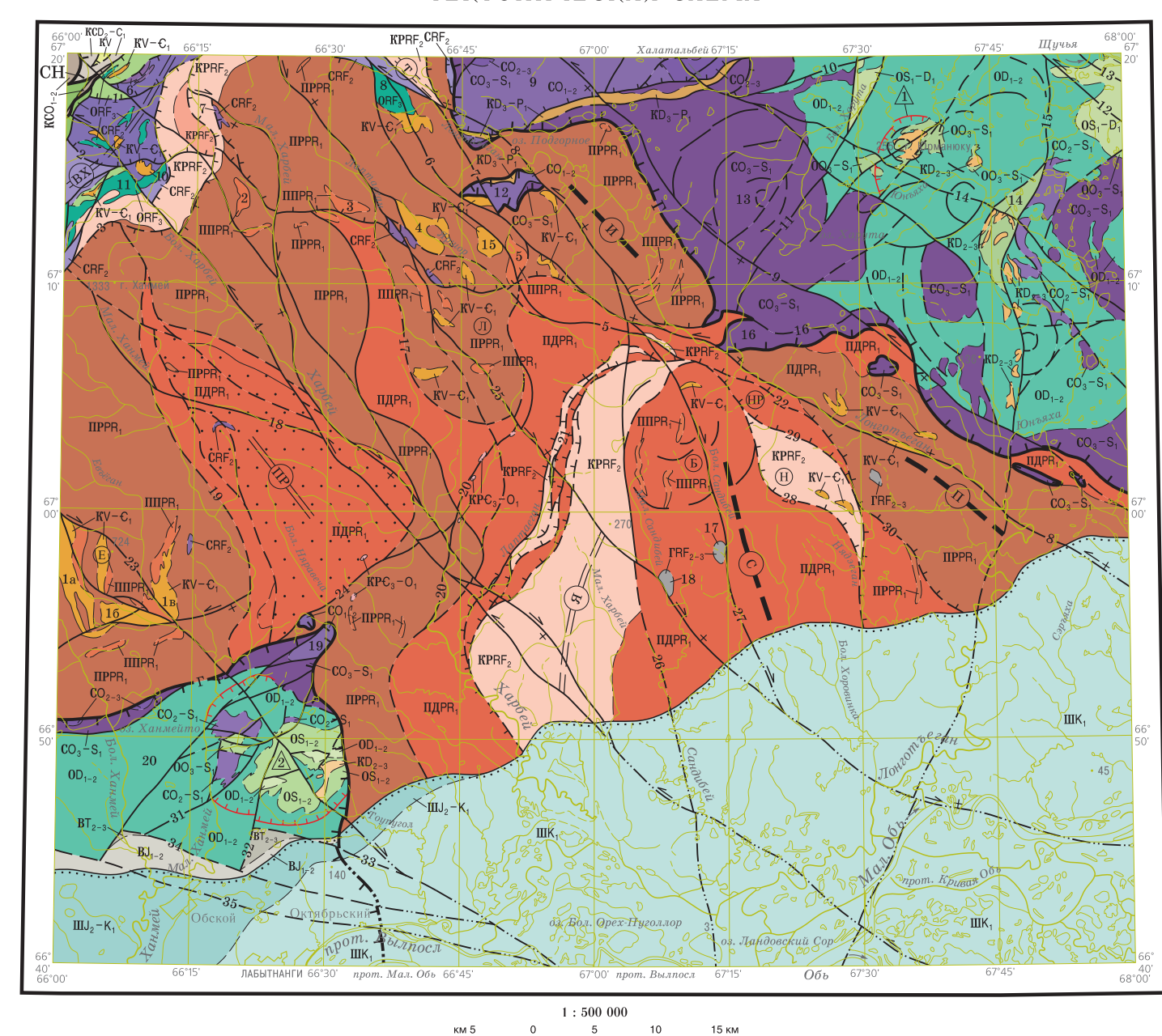


СХЕМА ТЕКТОНИЧЕСКОГО РАЙОНИРОВАНИЯ



- УСЛОВНЫЕ ОБОЗНАЧЕНИЯ**
- I** Главные структуры Новоземельско-Уральской складчато-надвиговой пояса
- I-B - Центрально-Уральский мегаинклиниорий
  - I-B1 - Талота-Пайтулдский синклиниорий
  - I-B1<sup>1</sup> - Оранский аплотон
  - I-B2 - Харьейский антиклинорий
  - I-B2<sup>1</sup> - Харьейский мегаблок
  - I-B2<sup>2</sup> - Порцелорский блок
  - I-B - Тайго-Манитогорский мезосинклиниорий
  - I-B1 - Шуньинский синклиниорий
  - I-B1<sup>1</sup> - Сергайский блок
  - I-B1<sup>2</sup> - Юньинский блок
  - I-B1<sup>3</sup> - Яркеуский клип
  - I-B2 - Войкарский синклиниорий
  - I-B2<sup>1</sup> - Наровская платформа
  - I-B2<sup>2</sup> - Северо-Войкарский блок
- II** Западно-Сибирская плита
- II-A - Ямало-Гиданская мегаэпидина
  - II-B - Шуришкарская мегаэпидина
  - II-B1 - Северо-Приполярная малая моноиниаль
- Границы:
- региональных структур
  - основных структур
  - платформенного чехла
- Дополнительные элементы
- Выступы фундамента

ТЕКТОНИЧЕСКАЯ СХЕМА



У С Л О В Н Ы Е О Б О З Н А Ч Е Н И Я  
ГЕОДИНАМИЧЕСКИЕ КОМПЛЕКСЫ И СЛАГАЮЩИЕ ИХ ФОРМАЦИИ

Структурные этапы	Внутренних частей литосферных плит					Пограничных частей литосферных плит				
	Внутренние части континентов	Горячие точки	Внутриконтинентальные бассейны	Пассивные окраины континентов	Дивергентные обстановки (обстановки раздвижения)	Конвергентные обстановки (обстановки сближения)		Субдукционные		Коллизионные
МЕЗОЗОЙСКИЙ	КР	Г	В	Ш	КС	О		К		К
ПОЗДНЕКЕМБРИЙСКО-ПЕРМСКИЙ	КР <sub>1</sub> -К <sub>1</sub>	Г <sub>1</sub> -Г <sub>1</sub>	В <sub>1</sub> -В <sub>1</sub>	Ш <sub>1</sub> -Ш <sub>1</sub>	КС <sub>1</sub>	О <sub>1</sub> -О <sub>1</sub>	О <sub>1</sub> -О <sub>1</sub>	К <sub>1</sub> -К <sub>1</sub>	К <sub>1</sub> -К <sub>1</sub>	К <sub>1</sub> -К <sub>1</sub>
РИВЕЙСКО-РАННЕКЕМБРИЙСКИЙ	КР <sub>2</sub> -К <sub>2</sub>	Г <sub>2</sub> -Г <sub>2</sub>	В <sub>2</sub> -В <sub>2</sub>	Ш <sub>2</sub> -Ш <sub>2</sub>	КС <sub>2</sub>	О <sub>2</sub> -О <sub>2</sub>	О <sub>2</sub> -О <sub>2</sub>	К <sub>2</sub> -К <sub>2</sub>	К <sub>2</sub> -К <sub>2</sub>	К <sub>2</sub> -К <sub>2</sub>
РАННЕ-ПРОТЕРОЗОЙСКИЙ	КР <sub>3</sub> -К <sub>3</sub>	Г <sub>3</sub> -Г <sub>3</sub>	В <sub>3</sub> -В <sub>3</sub>	Ш <sub>3</sub> -Ш <sub>3</sub>	КС <sub>3</sub>	О <sub>3</sub> -О <sub>3</sub>	О <sub>3</sub> -О <sub>3</sub>	К <sub>3</sub> -К <sub>3</sub>	К <sub>3</sub> -К <sub>3</sub>	К <sub>3</sub> -К <sub>3</sub>

- Разрывные нарушения**  
(а - достоверные, б - предполагаемые, в - скрытые под вышележащими образованиями)
- Разломы главные
  - Разломы второстепенные
  - Надвиги главные
  - Надвиги второстепенные
  - Сдвиги правые второстепенные
  - Сдвиги левые второстепенные
  - Взбросо-сдвиги правые второстепенные
  - Взбросо-сдвиги левые второстепенные
  - Взбросо-сдвиги правые второстепенные
  - Взбросо-сдвиги левые второстепенные
  - Разломы-ограничения вулканотектонических структур
- Зоны региональных разломов (структурных швов)**  
Г - Главный Уральский надвиг СН - Собско-Нурдеринский
- Разломы второго порядка**
- 1 - Шерошный I (сутурный шов)
  - 2 - Кузнецкий (сутурный шов)
  - 3 - Сугленчатый
  - 4 - Харьейский
  - 5 - Изильинский
  - 6 - Тайкеуский
  - 7 - Мраморский
  - 8 - Ломоносовский
  - 9 - Хадата-Лонгоуский
  - 10 - Медведково-Юньинский
  - 11 - Харутский
  - 12 - Салайинский
  - 13 - Большещучинский
  - 14 - Воргатинский
  - 15 - Юньинский
  - 16 - Тальбейшорский (сутура)
  - 17 - Воейшорский
  - 18 - Парногосский
  - 19 - Малозамейский
  - 20 - Хартамошорский (зона)
  - 21 - Лаптаганский (зона)
  - 22 - Приполярский
  - 23 - Евьеганский
  - 24 - Пристанцовый
  - 25 - Малосандибейский
  - 26 - Сандибейский
  - 27 - Большесандибейский
  - 28 - Надвигский
  - 29 - Унсомский
  - 30 - Пантомский
  - 31 - Механамейский (шов)
  - 32 - Тоугульский
  - 33 - Приобский I
  - 34 - Приобский II
  - 35 - Приобский III
- Харьейский антиклинорий**
- Осевые поверхности складок: 1 - Юрменская, 2 - Тоугульская
  - антиформ
  - Мигматит-гранитовые купола
- Границы структурно-вещественных комплексов:** а - наблюдаемые, б - предполагаемые
- Границы платформенного чехла**
- Интрузивные, ультраметаморфические, гиабиссальные и вулканоплутоические массивы и их номера**
- 1 - Евьеганская группа (Ia - Западно-Евьеганский, Ib - Восточно-Евьеганский)
  - 2 - Сугленчатый
  - 3 - т. Черной
  - 4 - Лаптаганский
  - 5 - Изильинский I
  - 6 - Минисейшорский
  - 7 - Водораздельный
  - 8 - Дорожный
  - 9 - Харьезуский
  - 10 - Харьбейский
  - 11 - Вадванский
  - 12 - Яркеуский
  - 13 - Масловский
  - 14 - Каньонный
  - 15 - Изильинский II
  - 16 - Тальбейшорский
  - 17 - Сандибейский
  - 18 - Малосандибейский
  - 19 - Надвигский
  - 20 - Собский